

ФИЗИКА

Академик Д. В. СКОБЕЛЬЦЫН и Г. Т. ЗАЦЕПИН

**О СТРУКТУРЕ АНОМАЛЬНО ШИРОКИХ АТМОСФЕРНЫХ ЛИВНЕЙ КОСМИЧЕСКОГО ИЗЛУЧЕНИЯ**

В 1947 г. нами были опубликованы результаты наблюдений, устанавливающие существование аномально широких атмосферных ливней (1).

Совпадения в системе счетчиков, регистрирующей такие ливни на высоте 3860 м, могли быть наблюдаемы при расстоянии  $D$  между счетчиками вплоть до 1000 м. Многократно повторенные эксперименты полностью подтвердили с хорошей статистической точностью полученные тогда данные о числе такого рода ливней, наблюдавшихся за единицу времени. Основываясь на соображениях, развитых ранее (2), следует считать установленным, что мы имеем здесь дело с принципиально новым явлением, которое не укладывается в рамки классической каскадной теории ливней.

Эти наши результаты, однако, были неправильно интерпретированы некоторыми зарубежными авторами (3), которые делают прямо противоположный вывод о том, что наши наблюдения дают якобы новое подтверждение каскадной теории ливней (в области необычно высокой энергии порядка  $10^{17}$  —  $10^{18}$  эв).

В связи с отмеченным положением вещей и ввиду большого принципиального значения затронутого вопроса в данной заметке мы даем обоснование метода, позволяющего непосредственно решить вопрос о том, могут ли быть согласованы с каскадной теорией данные о структуре указанных ливней. Эксперименты, основанные на этом методе, описаны в следующей заметке (5).

Идея метода основана на следующей особенности описанной нами ранее „широкой“ регистрирующей системы: ось ливня практически всегда проходит в пределах достаточно ограниченной центральной области на относительно небольшом расстоянии от центра расположения.

На рис. 1 показаны кривые, ограничивающие в плоскости попечного сечения ливня указанную область вероятных положений оси ливня, рассчитанную для определенным образом выбранной плотности ливня. Плотность эта, близкая к плотности, преобладающей в спектре ливней, выбираемых данной экспериментальной системой, такова, что при центральном прохождении оси ливня число частиц  $\rho_0$ , рассчитан-

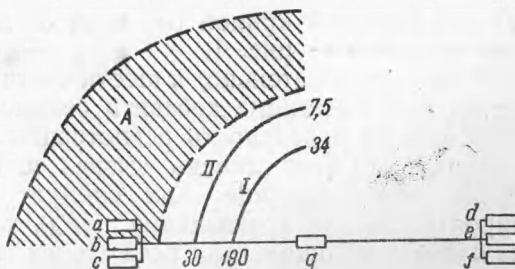


Рис. 1

ное на эффективное сечение одного из шести счетчиков, составляющих эту систему, равно 1,5. При  $D = 1000$  м указанная на рис. 1 единица длины равна длине радиуса ливня  $R = 100$  м.

Если рассматривать ливни, направленные наклонно (при том же значении определенной как указано выше плотности  $\rho_0$ ), картина будет такой же, если условимся расстояния выражать в долях эффективного расстояния  $D' = D \cos \theta$  ( $\theta$  — угол наклона оси ливня относительно вертикального направления и  $D'$  — проекция  $D$  на плоскость, перпендикулярную к оси ливня). При уменьшении расстояния  $D'$  линейные размеры области  $C$  сокращаются пропорционально  $D'$ , если только при этом они остаются большими  $R$  <sup>(2)</sup>.

Показанные на рис. 1 кривые ( $I$  и  $II$ ) определяют положения оси ливня, удовлетворяющие следующему условию: вероятность регистрации ливня (при указанном  $\rho_0$ ) равна  $p_1 = 0,1 \rho_0$  и  $p_2 = 0,01 \rho_0$  для точек  $I$  и  $II$  кривых, соответственно, если  $\rho_0$  есть вероятность регистрации такого же ливня при центральном положении его оси.

Вероятность того, что ось зарегистрированного ливня проходит в пределах области, ограниченной внутренней кривой ( $I$ ), равна  $P_1 \approx 0,9$ . Для области же, ограниченной внешней кривой, эта вероятность  $P_2$  практически равна единице ( $P_2 > 0,99$ ).

Если вычислить плотность  $\rho_c$  (рассчитанную на площадь эффективного сечения счетчика  $\sigma$ ) в центре расположения, в случае прохождения оси ливня через одну из точек кривых  $I$  и  $II$  (при  $\rho_0 = 1,5$ ), то оказывается, что  $\rho_c$  имеет значения в пределах примерно от 7,5 до 30 для внешней кривой ( $II$ ) и от 33 до 190 для внутренней кривой ( $I$ ), как показано на рис. 1.

Если, следовательно, к шести счетчикам ( $a, b, c, d, e, f$ ) данной регистрирующей системы добавить седьмой, помещенный в центре расположения, то вероятность регистрации им ливня (с заданной  $\rho_0$ ) при условии, что этот ливень вызвал шестикратное совпадение, практически равна единице. Как следует из приведенных выше чисел, вероятность „антисовпадения“ ( $P_A$ ), т. е. вероятность просчета центральным счетчиком, для всех точек внутри кривой  $II$  существенно меньше 0,0005.

Интегрирование по всей плоскости в соответствии с законом  $\rho \sim 1/r^4$  <sup>\*</sup> дает для вероятности  $P_A$  антисовпадения ( $a + b + c + d + e + f - g$ ) весьма малую величину:

$$\frac{P_A}{P} = \frac{\int e^{-\rho(x, y)} p(x, y) ds}{\int p ds} \approx 2 \cdot 10^{-3},$$

( $\rho(x, y)$  есть плотность в центре расположения ливня, ось которого проходит через точку  $(x, y)$ ).

Эти антисовпадения имеют место за счет случаев прохождения оси ливня практически в пределах заштрихованной зоны  $A$ , ограниченной двумя пунктирными кривыми (рис. 1).

Относительная вероятность антисовпадения, рассчитанная с учетом спектра плотностей (в соответствии со спектром энергии  $f(E) \sim 1/E^{1.8}$  и  $\rho \sim 1/r^4$ ), была рассчитана путем численного интегрирования. Выполнение такого интегрирования дает:

$$\frac{\bar{P}_A}{\bar{P}} = \frac{\int v_A(E) \frac{dE}{E}}{\int v_c(E) \frac{dE}{E}} = \frac{\int f(E) \frac{dE}{E} \int e^{-\rho(x, y, E)} p(x, y, E) ds}{\int f(E) \frac{dE}{E} \int p(x, y, E) ds} \approx 4 \cdot 10^{-3}. \quad (1)$$

<sup>\*</sup> При  $r > 8R$ ; при  $r < R$  зависимость  $\rho(r)$  предполагалась в соответствии с кривой Мольера <sup>(2)</sup>.

На рис. 2 приведены кривые значений  $v_A(E)$  (I) и  $v_c(E)$  (II), рассчитанные в предположении  $\sigma = 0,8 \text{ м}^2$ .

Как легко убедиться, полученное значение  $P_A$ , вычисленное для вертикально направленных ливней, в действительности не зависит от наклона оси ливня (см. соображения, развитые в (2), и замечание, сделанное выше). Во всяком случае, это справедливо в тех пределах изменения угла  $\theta$ , в каких средний радиус заштрихованной зоны A (рис. 1) остается большим  $R$ , что при  $D = 1000 \text{ м}$  имеет место вплоть до наибольших, существенных еще, значений угла  $\theta$ .

Таким образом, если бы картина явления соответствовала классической теории (см. рис. 1), вероятность антисовпадений (при наблюдении их с помощью добавочного — седьмого счетчика антисовпадений, расположенного в центре) практически должна была бы равняться нулю.

В действительности эксперименты, подробно описанные в заметке (5), показали, что в указанных условиях наблюдается около 40% случаев антисовпадений, т. е. в 100 раз больше числа таких случаев, ожидающего по расчету. Кроме того, согласно указанным выше соображениям, процент антисовпадений (при  $\rho \sim 1/r^4$ ) не должен был бы зависеть от расстояния  $D$  между крайними счетчиками, тогда как на опыте относительное число антисовпадений возрастает с увеличением  $D$  (ср. результаты (5) с (4)).

Отсюда должен быть сделан вывод, что закон  $\rho \sim 1/r^4$  не дает описания, в сколь-нибудь отдаленном даже приближении, структуры рассматриваемых сверхгигантских ливней. Вывод этот основан на весьма непосредственной экспериментальной проверке.

Противоречие с экспериментом не может быть устранено за счет изменения предположений о виде энергетического спектра первичного излучения. Отношение  $P_A/P$  находится в довольно сложной, немонотонной зависимости от плотности ливня, возрастающей при переходе как к весьма малым, так и к очень большим плотностям (см. рис. 2). В случае первичной энергии, превышающей на 2 порядка среднюю энергию, соответствующую кривой II рис. 2, т. е. при  $E > 10^{19} \text{ эв}$ , это отношение становится порядка 0,02. Однако, как легко убедиться, при любой сколь угодно большой плотности, оно остается меньше некоторого предельного значения \*\* порядка 3%. Противоречие с экспериментом нельзя, следовательно, устранить, предположив (при  $\rho \sim 1/r^4$ ) более медленное, чем в соответствии с  $f \sim 1/E^{1.8}$ , спадание интенсивности в первичном спектре (что требовалось бы для того, чтобы согласовать абсолютное число совпадений, наблюдавшихся за единицу времени, с расчетным значением этого числа).

Можно отметить, что, с другой стороны, расчет, основанный на законе

\* Ординаты кривых в указанном на рис. 2 масштабе при  $E = 10^{17} \text{ эв}$  дают абсолютное значение вероятности  $P$  и  $P_A$  совпадений и антисовпадений. Иначе говоря,  $f(E)$  нормирована так, что  $f(10^{17}) = 1$ .

\*\* Определяемого выражением:  $\left[ \int_0^{\infty} (1 - e^{-1/r^4})^6 e^{-1/r^4} r dr \right] : \left[ \int_0^{\infty} (1 - e^{-1/r^4})^6 r dr \right]$ .

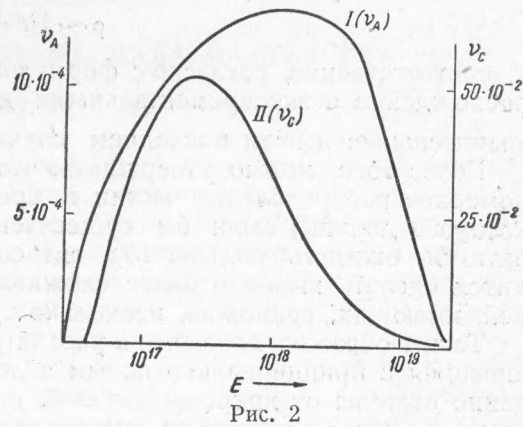


Рис. 2

$$\rho \sim 1/r^{2.6}, \quad (a)$$

который следовал бы из экспериментальных данных о зависимости  $C(D)$  — числа совпадений от расстояния (см. формулу (2)), приводит все еще к существенному расхождению с опытными данными: согласно такому расчету  $\bar{P}_A/\bar{P}_{\text{выч}} = 0.07$ .

Как показано в <sup>(2)</sup>, три зависимости:  $C(D)$ ,  $\rho(r)$  и  $f(E)$  взаимосвязаны, и притом весьма простым соотношением, в случае  $\rho \sim 1/r^n$ ,  $f \sim 1/E^r$ . Соотношение это дает:

$$C(D) \sim 1/D^k, \quad \text{где } k = n\gamma - 2. \quad (2)$$

Даже в случае крайнего предположения \* о том, что

$$\rho \sim 1/r^{2.2} \quad (6)$$

и, соответственно, согласно с формулой (2),  $f(E) \sim 1/E^{2.1}$ , остается еще расхождение с экспериментальными данными, хотя и не столь уже значительное: в этом последнем случае \*\*  $(\bar{P}_A/\bar{P}_{\text{выч}} = 0.10)$  \*\*\*.

Более того, можно утверждать, что даже если предположить равномерное распределение частиц в пределах границ ливня (размеры которого должны были бы существенно превышать 1000 м), нельзя было бы ожидать больше 15% антисовпадений. Повидимому, приходится сделать вывод о более сложном строении рассматриваемых ливней, имеющих, возможно, несколько „уплотнений“.

Таким образом, ясно, что в рассматриваемых наблюдениях мы сталкиваемся с принципиально новым явлением, природа которого существенно отлична от природы явлений, описываемых обычной каскадной теорией. Можно надеяться, что развитие экспериментов, изложенных в заметке <sup>(5)</sup>, позволит получить более определенные данные о структуре и природе изучаемых нами аномально широких ливней.

Физический институт им. П. Н. Лебедева  
Академии наук СССР

Поступило  
21 VI 1950

#### ЦИТИРОВАННАЯ ЛИТЕРАТУРА

- <sup>1</sup> Д. В. Скобельцын, Г. Т. Зацепин и В. В. Миллер, Phys. Rev., **71**, 315 (1947); Г. Т. Зацепин и В. В. Миллер, ЖЭТФ, **17**, 939 (1947). <sup>2</sup> Д. В. Скобельцын, ДАН, **67**, 45 (1949); **67**, 255 (1949). <sup>3</sup> Г. Соссоли, Phys. Rev., **72**, 350 (1948). <sup>4</sup> Д. И. Алексеев, Г. Т. Зацепин и И. Г. Морозов, ДАН, **61**, № 3 (1947). <sup>5</sup> Г. Т. Зацепин, И. Л. Розенталь, В. П. Захарова, Н. Г. Хребет и Г. В. Христиансен, ДАН, **73**, № 6 (1950).

\* При  $\rho(r) \sim 1/r^2$  число частиц в ливне  $\left( \int_0^{\infty} \rho(r) 2\pi r dr \right)$  становится логарифмически расходящимся. Вместе с тем зависимость  $f(E) \sim 1/E^{2.1}$  едва ли может быть согласована с другими экспериментальными данными.

\*\* Расчеты  $(\bar{P}_A/\bar{P}_{\text{выч}})$  для двух последних случаев были выполнены Ю. В. Анисченко, Д. М. Парфеновичем и Н. Г. Хребетом.

\*\*\* Следует отметить, что допущение таких предположений возможно лишь при условии радикального изменения тех представлений, которые приняты в обычной каскадной теории ливней. Это становится ясным, если выполнить следующий простой расчет: предполагая „нормальным“ распределение частиц согласно закону

$$\rho \sim 1/r \text{ при } r < R \text{ и } \rho \sim 1/r^4 \text{ при } r > R \quad (b)$$

и полагая, что „аномальные“ частицы, ответственные за отступление от этого закона (предположения (а) и (б)), распределены вне радиуса  $r = R$ , определить число таких аномальных частиц. Это число оказывается или примерно равным (в случае предположения (а)) числу „нормальных“ каскадных (т. е. соответствующих распределению (в) частиц), или же в 3 раза превышающим последнее число (в случае предположения (б)). Если бы предположить, что „аномальными“ частицами являются мезоны, имеющие пробеги порядка многих  $t$ -единиц, то отсюда следовало бы, что энергия такого гигантского ливня была бы сосредоточена преимущественно в мезонной его компоненте.